
Procena P/W i W/S

Konstrukcija i tehnologija proizvodnje letelica

Zlatko Petrović & Aleksandar Grbović & Jelena Svorcan &
Miloš Petrašinić

2019/2020.



Uvod – 1/5

- Do sada smo definisali moguću količinu goriva u letelici W_F i poletnu težinu letelice W_o .
- (Na primeru ultralake letelice $W_o = 4630$ N i $W_F/W_o = 0.109$).
- Jedini parametar koji ozbiljno utiče na rezultat je finesa $(L/D)_{\max}$.
- Literatura obiluje statističkim trendovima na osnovu kojih se mogu proceniti osobine letelice bez da se ona “nacrtá”.
- Osnovni parametri koji kompletno diktiraju konstrukciju letelice su specifična snaga P/W i specifično opterećenje krila (nosivost) W/S .



Uvod – 2/5



Uvod – 3/5

- Potrebna količina goriva može se proceniti i na osnovu trendova izvedenih konstrukcija:

$$\frac{W_F}{W_o} = \frac{R + 0.5 \cdot V_\infty}{800 \cdot (L/D)_{\max}}$$

gde je R u [km], a brzina krstarenja V_∞ u [km/h].

- Maksimalnu finesu letelice usvojiti na osnovu donje tabele.

Tabela: Maksimalna finesa

Kvalitet oblika	$(L/D)_{\max}$
Otvorena kabina, prljava forma	6 ÷ 7
Srednje dobar aerod. oblik	8 ÷ 9
Vrlo dobar aerod. oblik	10 ÷ 11
Izvrstan aerod. oblik	12 ÷ 14



Uvod – 4/5

- Procenimo količinu goriva na osnovu datog trenda za $R = 1000$ [km], $V_\infty = 170$ [km/h], $(L/D)_{\max} = 9$:

$$\frac{W_F}{W_o} = \frac{1000 + 0.5 \cdot 170}{800 \cdot 9} = 0.151$$

- Mi smo u prethodnim primerima usvojili izvrsni kvalitet aerodinamičkog oblika, tako da za taj kvalitet:

$$\frac{W_F}{W_o} = \frac{R + 0.5 \cdot V_\infty}{800 \cdot (L/D)_{\max}} = \frac{1000 + 0.5 \cdot 170}{800 \cdot 11.5} \approx 0.118$$

- Na osnovu prethodne analize (proračuna masenog udela) dobijeno je da je udeo goriva u ukupnoj masi letelice $W_F/W_o = 0.109$.



Uvod – 5/5

- Na osnovu trend linije odredićemo dolet za W_F/W_o :

$$\frac{W_F}{W_o} = 0.109 = \frac{R + 0.5 \cdot 170}{800 \cdot 9} \Rightarrow R \approx 700 \text{ [km]}$$

- Za odličan aerodinamički oblik trend daje:

$$\frac{W_F}{W_o} = 0.109 = \frac{R + 0.5 \cdot 170}{800 \cdot 11.5} \Rightarrow R \approx 918 \text{ [km]}$$

- Možemo zaključiti da trend i analiza sa prethodnog časa daju rezultate sa prihvatljivim razilaženjem.



Snaga motora – 1/6

- Analiza izvedenih konstrukcija pokazuje slabu korelaciju između specifične snage i težine letelice, ali znatno bolje između snage letelice P [kW] i njene težine W_o [N]:

$$P = \begin{cases} 0.0133 \cdot W_o - 18 & \text{sa jednim motorom} \\ 0.0124 \cdot W_o + 91 & \text{sa dva motora} \\ 0.0167 \cdot W_o - 48 & \text{bez obzira na broj motora} \end{cases}$$

- Pogledajmo šta ovi trendovi daju za težinu letelice $W_o = 4630$ [N]:

$$P = 0.0133 \cdot 4630 - 18 \approx 43.6 \text{ [kW]},$$

$$P = 0.0167 \cdot 4630 - 48 \approx 29.3 \text{ [kW]}$$

- Optimalna snaga motora prema ovim formulama je između 40 i 60 [hp].



Snaga motora – 2/6

- Specifična snaga za $P = 43.6$ [kW]:

$$\frac{P}{W} = \frac{43.6 \text{ kW}}{4630 \text{ N}} \approx 9.4 \cdot 10^{-3} \text{ [kW/N]}$$

- Specifična snaga za $P = 29.3$ [kW]:

$$\frac{P}{W} = \frac{29.3 \text{ kW}}{4630 \text{ N}} \approx 6.3 \cdot 10^{-3} \text{ [kW/N]}$$

- Kako postoji razilaženje u podacima usvojicemo veću vrednost $P/W = 9.4$ [W/N].
- Ukoliko se podaci bolje poklapaju moguće je za dalji proračun usvojiti aritmetičku sredinu (srednju specifičnu snagu), ovde:

$$\frac{P}{W} = \frac{9.42 + 6.3}{2} \cdot 10^{-3} \approx 7.9 \cdot 10^{-3} \text{ [kW/N]}$$



Snaga motora – 3/6

Tabela: Rajmerovi trendovi za W/P , brzina V_{\max} u [km/h].

Tip letelice	Trend jednačina [N/W]
Neuvlačivi ST, normalna izvedba	$W/P = 1.87 \cdot V_{\max}^{-0.61}$
Uvlačivi ST, normalna izvedba	$W/P = 2.46 \cdot V_{\max}^{-0.65}$
Neuvlačivi ST, glatka površina	$W/P = 2.15 \cdot V_{\max}^{-0.61}$
Uvlačivi ST, glatka površina	$W/P = 6.60 \cdot V_{\max}^{-0.79}$
Akrobatski	$W/P = 1.49 \cdot V_{\max}^{-0.61}$
"Platneni avioni"	$W/P = 4.84 \cdot V_{\max}^{-0.75}$
Ultralaki	$W/P = 3.08 \cdot V_{\max}^{-0.75}$

Snaga motora – 4/6

Za $V_{\max} = 200$ [km/h] i neuvlačivi stajni trap formula glasi:

$$W/P = 1.87 \cdot V_{\max}^{-0.61} = 1.87 \cdot 200^{-0.61} \approx 0.0738 \text{ [N/W]},$$

što odgovara recipročnoj vrednosti:

$$\frac{P}{W} = 13.55 \left[\frac{\text{W}}{\text{N}} \right] = 13.6 \cdot 10^{-3} \text{ [kW/N]}$$

Za neuvlačivi stajni trap i glatku površinu:

$$W/P = 2.15 \cdot V_{\max}^{-0.61} \approx 0.0849 \text{ [N/W]} \Rightarrow \frac{P}{W} \approx 11.8 \cdot 10^{-3} \text{ [kW/N]}$$

što se uklapa sa vrednošću dobijenom iz statističkih trend jednačina:

$$\frac{P}{W} \approx 9.4 \cdot 10^{-3} \text{ [kW/N]}$$



Snaga motora – 5/6

```

% ulazni podaci
Wo = 4630;      % poletna tezina [N]
R = 1000;      % dolet [km]
V = 170;       % brzina krstarenja [km/h]
Vmax = 200;    % max brzina [km/h]
L_Dmax = 9;    % max finesa
f = 1.34102209; % skalirajuci faktor [kW -> hp]

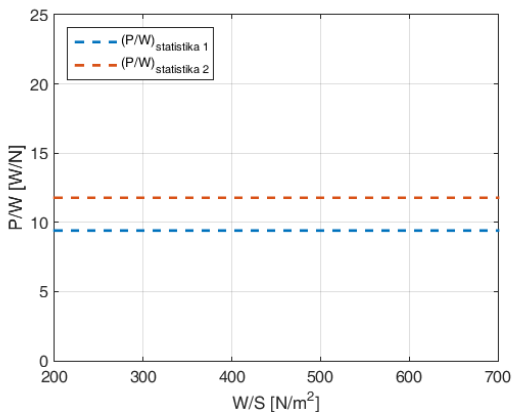
% snaga, statisticki
P1 = 0.0133*Wo - 18; % jedan motor
P_Wo1 = P1/Wo;
P2 = 0.0167*Wo - 48; % uopste
P_Wo2 = P2/Wo;
P_Wo = max(P_Wo1, P_Wo2); % P_Wo = (P_Wo1 + P_Wo2)/2;
% Rejmerovi trendovi
W_P = 2.15*Vmax^(-0.61); % neuvlacivi ST, glatka površina
P_W = 1/W_P/1e3; % [kW/N]

% skupni grafik P/W = f(W/S)
n = 101; ws = linspace(200, 700, n);
figure
plot(ws, P_Wo*ones(1,n)*1e3, '--', ws, P_W*ones(1,n)*1e3, '--', 'linewidth', 2)
xlabel('W/S [N/m^2]'), ylabel('P/W [W/N]')
box on, grid on, axis([200 700 0 25])
legend('(P/W)_{statistika 1}', '(P/W)_{statistika 2}', 'location', 'northwest')
set(gca, 'fontsize', 12)

```



Snaga motora – 6/6



Slika: Grafik mogućih specifičnih opterećenja W/S i snaga P/W .



Opterećenje krila – 1/4

- Trend površine krila S u $[\text{m}^2]$, gde je W_o u $[\text{N}]$:

$$S = \begin{cases} S = 10.1 + 0.419 \cdot 10^{-3} \cdot W_o & \text{za jednomotorni avion} \\ S = 9.48 + 0.352 \cdot 10^{-3} \cdot W_o & \text{za dvomotorni avion} \\ S = 11.4 + 0.297 \cdot 10^{-3} \cdot W_o & \text{opšti trend} \end{cases}$$

- Za $W_o = 4630$ $[\text{N}]$ dobijamo:

$$S = 10.1 + 0.419 \cdot 4.63 \approx 12.04 \text{ [m}^2\text{]},$$

$$S = 11.4 + 0.297 \cdot 4.63 \approx 12.78 \text{ [m}^2\text{]}$$

- Dobijene površine krila ($S = 12.04 \div 12.78$ $[\text{m}^2]$) se dobro uklapaju u površine već izvedenih letelica.



Opterećenje krila – 2/4

- Opterećenje krila za $S = 12.04 \text{ [m}^2\text{]}$:

$$\frac{W}{S} = \frac{4630}{12.04} \approx 385 \text{ [N/m}^2\text{]}$$

- Opterećenje krila za $S = 12.78 \text{ [m}^2\text{]}$:

$$\frac{W}{S} = \frac{4630}{12.78} \approx 362 \text{ [N/m}^2\text{]}$$

- Srednja vrednost opterećenja krila:

$$\frac{W}{S} = \frac{362 + 385}{2} \approx 374 \text{ [N/m}^2\text{]} \Rightarrow S = \frac{W_o}{374} = \frac{4630}{374} \approx 12.4 \text{ [m}^2\text{]}$$



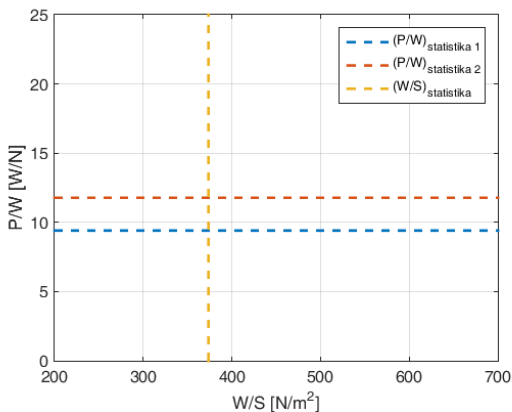
Opterećenje krila – 3/4

Nastavak skripta ...

```
% opterecenje krila, statisticki
S1 = 10.1 + 0.419e-3*Wo;      % jedan motor
W_S1 = Wo/S1;
S2 = 11.4 + 0.297e-3*Wo;      % opsti trend
W_S2 = Wo/S2;
W_S = (W_S1 + W_S2)/2;
S = Wo/W_S;
hold on, plot(W_S*ones(1,n), linspace(0,25,n), '--', 'linewidth', 2)
legend('(P/W)_{statistika 1}', '(P/W)_{statistika 2}', ...
      '(W/S)_{statistika}', 'location', 'northeast')
```



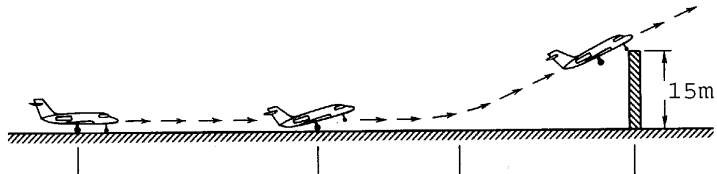
Opterećenje krila – 4/4



Slika: Grafik mogućih specifičnih opterećenja W/S i snaga P/W .



Poletanje – 1/11



Slika: Dužina zaleta i dužina poletanja. Faze poletanja su zalet, rotacija, uzlet i polet.

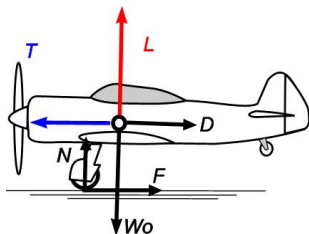


Poletanje – 2/11

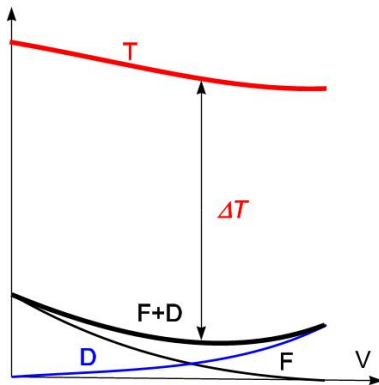
- Povećanje energije letelice u trenutku preletanja prepreke od 15 [m] (kinetička + potencijalna):

$$\Delta E_{pol} = E_{h=15} = W_o \left(\frac{V_{pol}^2}{2g} + 15 \right)$$

- Sile koje deluju na letelicu dok se kreće po zemlji prikazane su na sledećoj skici:



Poletanje – 3/11



Slika: Vučna sila elise znatno je veća od ostalih sila u pravcu kretanja.



Poletanje – 4/11

- Uložena energija u zaletu:

$$\Delta E_{pol} = \Delta T \cdot L_{pol}$$

- Izjednačavanjem:

$$\Delta T \cdot L_{pol} = W_o \left(\frac{V_{pol}^2}{2g} + 15 \right)$$

- Nalazimo dužinu poletanja:

$$L_{pol} = \frac{V_{pol}^2/(2g) + 15}{\Delta T/W_o}$$



Poletanje – 5/11

- Brzina poletanja je $V_{pol} = k_{pol} \cdot V_s$ gde je V_s brzina otcepljenja strujanja (brzina stolinga), a $k_{pol} \geq 1.2$.
- Iz jednakosti sile uzgona i težine letelice:

$$V_{pol}^2 = k_{pol}^2 \cdot \frac{2 \cdot W_o}{\rho \cdot S \cdot C_{L_{max}}}$$

- Izraz za dužinu poletanja glasi:

$$L_{pol} = \frac{k_{pol}^2 W/S + 15 \rho g C_{L_{max}}}{\rho g C_{L_{max}} \left(\frac{T}{W_o} - \frac{F+D}{W_o} \right)_{sr}}$$



Poletanje – 6/11

- U prethodnoj jednačini se mogu zanemariti (kao manje značajni članovi):

$$15 \rho g C_{L_{\max}}, \quad \text{i:} \quad \frac{F + D}{W_o}$$

- Tako da izraz za dužinu poletanja glasi približno:

$$L_{pol} \approx \frac{k_{pol}^2 \frac{W}{S}}{\rho g C_{L_{\max}} \left(\frac{T}{W_o} \right)_{sr}} = k_p \cdot \frac{\frac{W}{S}}{C_{L_{\max}} \frac{T}{W}} = k_p U_{pol},$$

gde je U_{pol} generalizovani parametar poletanja.



Poletanje – 7/11

- Kako je specifična snaga (P/W) proporcionalna specifičnom potisku (T/W) to možemo napisati:

$$U_{pol} = \frac{W/S}{C_{L_{max}} P/W} \quad [N^2/W \cdot m^2]$$

- Statistički trend za dužinu poletne staze:

$$L_{pol} = 9.25 \cdot U_{pol} + 74.2$$

- Statistički trend za dužinu zaleta:

$$L_{zal} = 8.13 \cdot U_{pol} - 68.8$$



Poletanje – 8/11

- Iz jednačine za dužinu poletanja:

$$\frac{P}{W} = \frac{9.25 \cdot W/S}{C_{L_{\max}} \cdot (L_{pol} - 74.2)}$$

- A iz jednačine za zalet:

$$\frac{P}{W} = \frac{8.13 \cdot W/S}{C_{L_{\max}} \cdot (L_{zal} + 68.8)}$$

gde je sa $C_{L_{\max}}$ označen maksimalni koeficijent uzgona pri poletanju!



Poletanje – 9/11

- Ako ograničimo dužinu zaleta na $L_{zal} = 150$ [m] i koeficijent uzgona na vrednost u opsegu $C_{L_{max}} = 1.2 \div 1.4$, tada između P/W [W/N] i W/S [N/m²] postoji linearna zavisnost:

$$\frac{P}{W} = \frac{8.13 \cdot W/S}{1.2 \cdot (68.8 + 150)}, \quad \text{i} \quad \frac{P}{W} = \frac{8.13 \cdot W/S}{1.4 \cdot (68.8 + 150)}$$

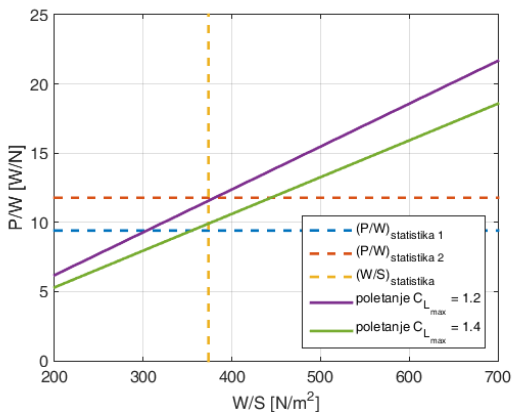
- Ili nakon sredjivanja:

$$\frac{P}{W} \geq 3.1 \cdot 10^{-2} \cdot \frac{W}{S}, \quad \text{i:} \quad \frac{P}{W} \geq 2.65 \cdot 10^{-2} \cdot \frac{W}{S}$$

- Obe zavisnosti su prikazane dijagramom ...



Poletanje – 10/11



Slika: Potrebna snaga pri poletanju za $C_{L_{max}} = 1.2$ i $C_{L_{max}} = 1.4$.



Poletanje – 11/11

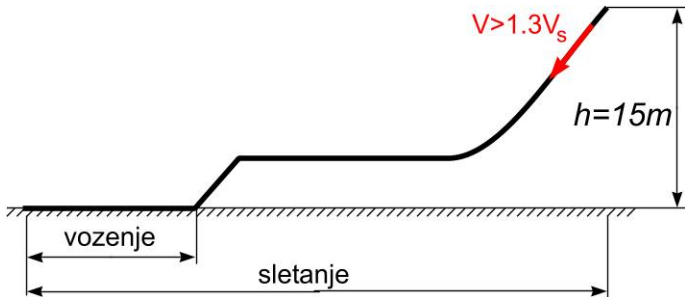
Maksimalna vrednost koeficijenta uzgona $C_{L_{\max}} = 1.2$ odgovara krilu bez mehanizacije, a $C_{L_{\max}} = 1.4$ krilu sa prostim zakrilcem.

Nastavak skripta ...

```
% poletanje
Lzal = 150; % [m]
Clmx = [1.2, 1.4];
kpol = 8.13/(68.8 + Lzal)./Clmx;
hold on, plot(ws, kpol'*ws, 'linewidth', 2)
legend('(P/W)_{statistika 1}', '(P/W)_{statistika 2}', ...
'(W/S)_{statistika}', 'poletanje C_{L_{\max}} = 1.2', ...
'poletanje C_{L_{\max}} = 1.4', 'location', 'southeast')
```



Sletanje – 1/10



Slika: Dužina voženja i dužina sletanja. Faze sletanja su planiranje, ravnanje i pridržavanje i voženje.



Sletanje – 2/10

- Pri sletanju su od interesa dve dužine:
 - ▶ Dužina zaustavnog traga letelice,
 - ▶ Dužina od trenutka preleta prepreke od 15 [m] do zaustavljanja letelice.
- Pri sletanju letelica ima manju težinu od težine na poletanju.
- Smanjenje težine letelice se može uzeti u obzir na osnovu statističkih podataka iz sledeće tabele.



Sletanje – 3/10

Tabela: Koeficijent umanjenja težine pri sletanju (K_{ut})

Broj motora	Koeficijent umanjenja težine		
	Minimalni	Srednji	Maksimalni
Jedan	0.95	0.99	1.00
Dva	0.88	0.99	1.00

$$K_{ut} = \frac{W_{o,sl}}{W_o}$$



Sletanje – 4/10

- Dužinu voženja možemo odrediti ako znamo srednji intenzitet usporenja:

$$L_{voz} = \frac{V_{sl}^2}{2 \cdot a_{sl}},$$

gde je $V_{sl} = k_{sl} \cdot V_{ss}$, a V_{ss} odgovara brzini otcepljenja strujanja u konfiguraciji za sletanje, dok je $k_s = 1.3$ (zavisi od propisa).

- Usporenje a_{sl} najvećim delom (60 ÷ 70%) zavisi od trenja kotrljanja pri kočenju točkovima:

$$a_{sl} = k_v \cdot f_{tt} \cdot g$$

gde je f_{tt} koef. trenja kotrljanja pri kočenju; k_v – koef. proporcionalnosti pri voženju, a $g = 9.80665 \text{ [m/s}^2\text{]}$.



Sletanje – 5/10

- Dužina vozne staze je tada:

$$L_{voz} = \frac{k_{sl}^2 \cdot V_{ss}^2}{2g \cdot k_v \cdot f_{tt}} = K \cdot V_{ss}^2$$

gde je V_{ss} u [km/h].

- Trend za letelice sertifikovane po FAR 23 glasi:

$$L_{voz} = 0.0235 \cdot V_{ss}^2$$

- Dužina sletne staze L_{sl} se određuje iz trenda za istu klasu letelica:

$$L_{sl} = 1.938 \cdot L_{voz}$$

- Brzina otcepljenja strujanja pri sletanju (u [m/s]):

$$V_{ss} = \sqrt{\frac{2W_{o,sl}}{S \cdot \rho \cdot C_{L_{max,sl}}}} = \sqrt{\frac{2 \cdot K_{ut} \cdot W_o/S}{\rho \cdot C_{L_{max,sl}}}}$$



Sletanje – 6/10

- Opterećenje krila se može naći iz izraza za dužinu voženja:

$$\frac{W}{S} = 1.642 \cdot \frac{\rho \cdot C_{L_{\max,sl}} \cdot L_{voz}}{K_{ut}},$$

- Odnosno (preko dužine sletanja):

$$\frac{W}{S} = 0.847 \cdot \frac{\rho \cdot C_{L_{\max,sl}} \cdot L_{sl}}{K_{ut}}.$$



Sletanje – 7/10

Odredimo potrebno opterećenje krila da bi dužina voženja bila manja od 100 [m], pri maksimalnom koeficijentu uzgona pri sletanju $C_{L_{\max,sl}} = 1.8$. Za K_{ut} usvojiti 1.0.

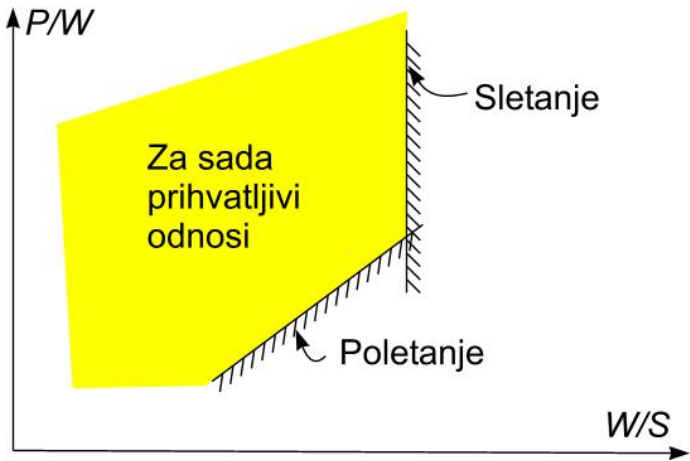
Na osnovu trenda sa prethodnog slajda:

$$\frac{W}{S} \leq 1.642 \cdot \frac{\rho \cdot C_{L_{\max,sl}} \cdot L_{voz}}{K_{ut}} = 1.642 \cdot \frac{1.225 \cdot 1.8 \cdot 100}{1} \approx 362 \text{ [Pa]}$$

Do sada smo iznašli dve granice za P/W i W/S odnose, sledeći slajd principijelno to prikazuje u $P/W-W/S$ koordinatnom sistemu.



Sletanje – 8/10



Sletanje – 9/10

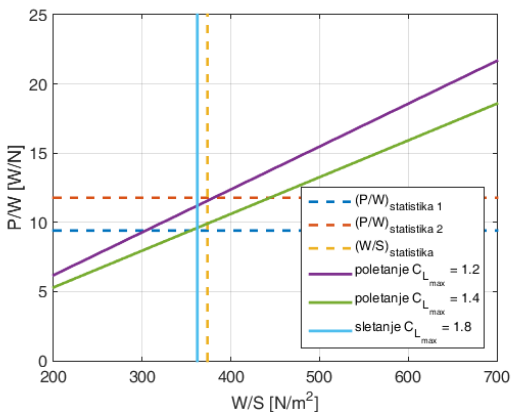
Opet, pretpostavljena maksimalna vrednost koeficijenta uzgona $C_{L_{\max}} = 1.8$ u sletanju odgovara krilu sa prostim zakrilcem, ali većim uglom otklona nego u poletanju!

Nastavak skripta ...

```
Lvoz = 100; % [m]
Clmx2 = 1.8; Kut = 1; rho = 1.225;
W_Sslet = 1.642*rho*Clmx2*Lvoz/Kut;
hold on, plot(W_Sslet*ones(1,n), linspace(0,50,n), 'linewidth', 2)
legend('(P/W)_{statistika 1}', '(P/W)_{statistika 2}', ...
      '(W/S)_{statistika}', 'poletanje C_{L_{\max}} = 1.2', ...
      'poletanje C_{L_{\max}} = 1.4', 'sletanje C_{L_{\max}} = 1.8', 'location', 'southeast')
```



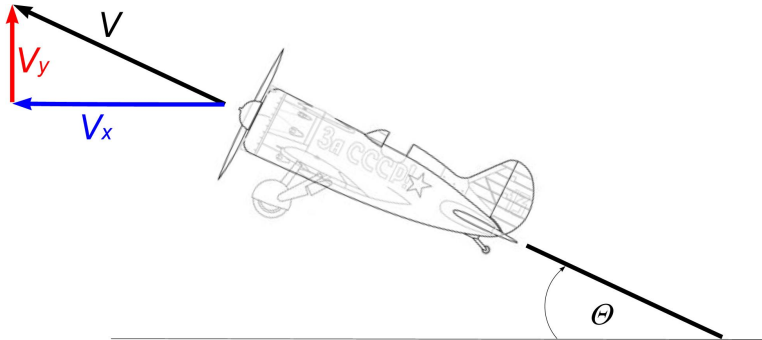
Sletanje – 10/10



Slika: Dosadašnji grafik mogućih vrednosti P/W i W/S .



Penjanje – 1/13



Penjanje – 2/13

- Brzina penjanja V_y i gradijent (ugao) penjanja Θ definisani su propisima.
- ASTM F 2245 paragraf 4.4.3.1 zahteva minimalnu brzinu penjanja od 95 m/min, (1.6 [m/s]).
- Dok ASTM F 2245 paragraf 4.4.3.2 zahteva da gradijent penjanja bude veći od 1/12 (4.78°).
- Snaga motora ne sme biti veća od maksimalno dozvoljene trajne snage.
- Zakrilca u poletnom položaju.
- Minimalni korisni teret prema ASTM 4.1.2 mora biti:

$$W_U = 1690 + 3 \cdot P \text{ [N]}, \quad (W_U = 845 + 3 \cdot P, \quad \text{za jednosed})$$

gde je P u [kW].

Penjanje – 3/13

- Brzina penjanja zavisi od razlike izmedju raspoložive snage motora P_r i potrebne snage motora za horizontalni let na datoj visini P_p :

$$V_y = \frac{P_r - P_p}{W}$$

- Raspoloživa snaga zavisi od ugradjenog motora:

$$P_r = n_{mot} \cdot P_{eH} \cdot \eta_e$$

gde su n_{mot} broj motora u letelici, P_{eH} – snaga jednog motora na visini H , η_e – koeficijent efikasnosti elise.

- Potrebna snaga je proizvod sile otpora D i horizontalne brzine V_x :

$$P_p = D \cdot V_x$$



Penjanje – 4/13

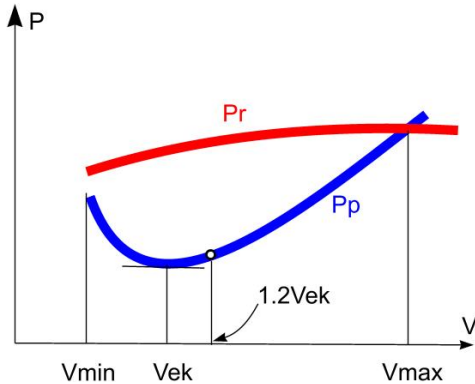
- Zamenom prethodnih izraza za snagu u izraz za V_y :

$$V_y = \frac{n_{mot} \cdot P_{eH} \cdot \eta_e}{W_o} - \frac{V_x}{W_o} \cdot D$$

- Optimalna brzina je za 20% veća od ekonomične brzine V_{ek} .
- Možemo zaključiti da režim penjanja odgovara letu pri maksimalnoj finesi.
- Sledeći slajd pokazuje tipičan dijagram potrebne i raspoložive snage.



Penjanje – 5/13



Penjanje – 6/13

- Brzina horizontalnog leta pri penjanju:

$$V_P = \sqrt{\frac{2W_o}{\sigma \cdot C_{LP} \cdot S}}, \quad \sigma = \frac{\rho}{\rho_o}$$

- Zamenom u izraz za brzinu penjanja:

$$V_{y_{\max}} = \frac{n_{\text{mot}} \cdot P_{eH} \cdot \eta_e}{W_o} - \frac{C_{DP}}{C_{LP}^{3/2}} \cdot \sqrt{\frac{2W_o}{\sigma \cdot S}}$$

- Gde su C_{LP} i C_{DP} koeficijenti uzgona i otpora pri maksimalnoj finesi.



Penjanje – 7/13

- U izvodjenju smo zanemarili utrošak goriva, tako da za $H = 0$ [m]:

$$V_{yH=0} \cong 0.67 \cdot \frac{P}{W} - \frac{C_{D_P} \sqrt{2}}{C_{L_P}^{3/2}} \sqrt{\frac{W}{S}}$$

- Pošto po propisima mora biti $V_y \geq 1.6$ [m/s]:

$$1.6 \leq 0.67 \cdot \frac{P}{W} - \frac{C_{D_P} \sqrt{2}}{C_{L_P}^{3/2}} \sqrt{\frac{W}{S}}$$



Penjanje – 8/13

- Iz prethodne jednačine se može izraziti P/W :

$$\frac{P}{W} \approx 2.24 + 2.11 \cdot \frac{C_{DP}}{C_{LP}^{3/2}} \cdot \sqrt{\frac{W}{S}}$$

- Dalja aproksimacija gornje jednačine zahteva razmatranje polare letelice u poletanju:

$$C_{D_{POL}} = C_{D_{oPOL}} + \frac{C_{L_{POL}}^2}{\pi \cdot \mathcal{R} \cdot e}$$

- Indeks POL označava poletnu konfiguraciju.



Penjanje – 9/13

- Otpor pri nultom uzgonu:

$$C_{D_{oPOL}} = C_{D_{oplaner}} + \Delta C_{D_{omeh}} + \Delta C_{D_{ostaj}}$$

- Priraštaj otpora zbog mehanizacije:

$$\Delta C_{D_{omeh}} = \begin{cases} 0 & \text{Bez odklonjenih zakrilaca} \\ 0.010 \div 0.015 & \text{Prosti zakrilci ili zakrilci Faulera} \\ 0.015 \div 0.020 & \text{Zakrilci sa procepom} \end{cases}$$



Penjanje – 10/13

- Priraštaj otpora stajnog trapa:

$$\Delta C_{D_{o_{staj}}} = \begin{cases} 0 & \text{uvlačivi stajni trap} \\ 0.015 \div 0.025 & \text{neuvlačivi stajni trap} \end{cases}$$

- Formula za procenu čeonog otpora planera kada je $C_L = 0$:

$$C_{D_{o_{planer}}} = \frac{W}{S} \cdot C_{fe} \cdot k_1 \cdot (W_o/10)^{\beta-1}$$

- Gde se koeficijenti k_1 i β dati tabelom na sledećem slajdu ...



Penjanje – 11/13

Tabela: Koeficijenti za jednačinu sa prethodnog slajda

Broj motora	C_{f_e}	k_1	β
1 motor	0.006	0.171	0.5147
2 motora	0.007	0.106	0.5632

- Zamenom u izraz za otpor letelice:

$$C_{D_{oPOL}} = \frac{W}{S} \cdot C_{f_e} \cdot k_1 \cdot W_o^{\beta-1} + \Delta C_{D_{o_meh}} + \Delta C_{D_{o_staj}}$$

- Poznate su sledeće zavisnosti medju aerodinamičkim koeficijentima:

$$C_{DP} = 2C_{D_{oPOL}}, \quad C_{LP} = \sqrt{\pi Re C_{D_{oPOL}}}$$



Penjanje – 12/13

- Zamenom prethodnih aproksimacija u izraz za specifičnu snagu dobija se:

$$\frac{P}{W} = 2.24 + 2.11 \cdot \frac{2C_{D_oPOL}}{[\pi ReC_{D_oPOL}]^{3/4}} \cdot \sqrt{\frac{W}{S}}$$

- Vitkost lakih letelica se kreće u granicama: $Re = 7.31 \pm 0.84$.
- Dok je Osvaldov koeficijent efikasnosti:

$$e = \begin{cases} 0.75 \dots 0.85 & \text{za krilo bez mehanizacije} \\ 0.75 \dots 0.80 & \text{za krilo sa izvučenom mehanizacijom} \end{cases}$$



Penjanje – 13/13

- Iz uslova potrebnog penjanja letelice na nivou mora od $V_{y_{\max}} \geq 1.6$ [m/s]:

$$\frac{P}{W_o} \geq 2.24 + k_2 \sqrt{\frac{W_o}{S}} \cdot \sqrt[4]{C_{D_oPOL}}$$

- Gde je koeficijent $k_2 = 0.40 \div 0.45$.



Gradijent penjanja – 1/9

- Ukoliko propisi propisuju gradijent penjanja on se odnosi na režim maksimalne brzine penjanja.
- S obzirom da je ugao penjanja mali, $\theta < 5^\circ$, važi aproksimacija:

$$\tan \theta \approx \sin \theta \approx \theta \cong \frac{V_y}{V}$$

- Koristeći se već izvedenom relacijom:

$$\theta \cong \frac{V_y}{V} = \frac{n_{\text{mot}} \cdot P_{eH} \cdot \eta_e}{V \cdot W_o} - \frac{D}{W_o}$$



Gradijent penjanja – 2/9

- Imajući u vidu da je:

$$\frac{\rho}{2} C_L V^2 S = W_o, \quad \Rightarrow \quad V = \sqrt{\frac{2}{\rho} \cdot \frac{W_o}{S} \cdot \frac{1}{C_L}}$$

- Za $H = 0$, $\eta = 0.8$ i $\rho = 1.225$ [kg/m³] dobija se za ugao penjanja:

$$\theta = 0.053 \cdot \frac{P/W_o}{\sqrt{W_o/S}} \sqrt{C_{LP}} - \frac{1}{(L/D)_{P_{\max}}}$$

- Pri čemu je maksimalna finesa u penjanju:

$$\left(\frac{L}{D}\right)_{P_{\max}} = \frac{1}{2} \sqrt{\frac{\pi Re}{C_{D_{oPOL}}}}$$



Gradijent penjanja – 3/9

- Preko aerodinamičkih koeficijenata:

$$\theta = 0.053 \frac{P/W_o}{\sqrt{W_o/S}} \left(\pi Re C_{D_oPOL} \right)^{1/4} - 2 \sqrt{\frac{C_{D_oPOL}}{\pi Re}}$$

- Ili nakon zamene statističkih vrednosti za Re i e :

$$\theta = 1.115 \cdot \frac{P/W_o}{\sqrt{W_o/S}} \sqrt[4]{C_{D_oPOL}} - 0.453 \sqrt{C_{D_oPOL}}$$



Gradijent penjanja – 4/9

- Na osnovu poslednje jednačine

$$\frac{P}{W_o} \geq 0.896 \cdot \sqrt{W_o/S} \cdot \left(\frac{\theta}{\sqrt[4]{C_{D_oPOL}}} + 0.453 \sqrt[4]{C_{D_oPOL}} \right)$$



Gradijent penjanja – 5/9

Primer

Za LSA letelicu težine 4630 [N] bez mehanizacije odredi zavisnost izmedju P/W_o i W_o/S ako je zahtevana maksimalna brzina penjanja $V_y \geq 1.6$ [m/s], a zahtevani minimalni gradijent penjanja $\theta = 0.0833$ ($\theta \cong 4.8^\circ$).



Gradijent penjanja – 6/9

Rešenje:

Poletni koeficijent otpora:

$$C_{D_{oPOL}} = C_{D_{oplaner}} + \Delta C_{D_{o_meh}} + \Delta C_{D_{o_staj}}$$

gde je $\Delta C_{D_{o_meh}} = 0$, $\Delta C_{D_{o_staj}} = 0.025$, a:

$$C_{D_{oplaner}} = \frac{W_o}{S} \cdot C_{f_e} k_1 (W_o/10)^{\beta-1} = \frac{W_o}{S} \cdot 0.006 \cdot 0.171 \cdot (4630/10)^{0.5147-1}$$

$$C_{D_{oplaner}} = 0.0000522 \cdot \frac{W_o}{S}, \quad C_{D_{oPOL}} = 0.025 + 0.0000522 \cdot \frac{W_o}{S}$$



Gradijent penjanja – 7/9

Iz uslova $V_{y_{\max}} \geq 1.6$ [m/s]:

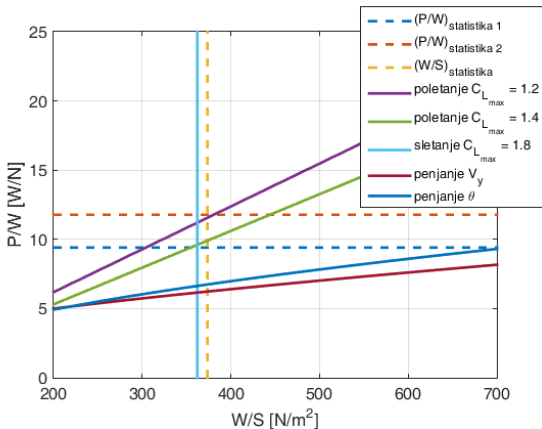
$$\frac{P}{W_o} \geq 2.24 + 0.4 \cdot \sqrt{\frac{W_o}{S}} \cdot \sqrt[4]{0.025 + 0.0000522 \cdot \frac{W_o}{S}}$$

Iz uslova ugla penjanja ($\theta = 0.0833$):

$$\begin{aligned} \frac{P}{W_o} \geq & 0.896 \cdot \sqrt{\frac{W_o}{S}} \cdot \left(\frac{0.0833}{\sqrt[4]{0.025 + 0.0000522 \cdot \frac{W_o}{S}}} \right. \\ & \left. + 0.453 \cdot \sqrt[4]{0.025 + 0.0000522 \cdot \frac{W_o}{S}} \right) \end{aligned}$$



Gradijent penjanja – 8/9



Slika: Dosadašnji grafik mogućih vrednosti P/W i W/S .



Gradijent penjanja – 9/9

Nastavak skripta ...

```
% penjanje
Vy = 95/60; % brzina penjanja [m/s]
theta = 1/12; % gradijent penjanja [rad]
Cfe = 0.006; k1 = 0.171; beta = 0.5147;
dCdostaj = 0.025;
kCdop = Cfe*k1*(Wo/10)^(beta-1);
Cdo = dCdostaj + kCdop*ws;
k2 = 0.45;
P_Wopol1 = 2.24 + k2*sqrt(ws).*Cdo.^(1/4); % brzina
P_Wopol2 = 0.896*sqrt(ws).*(theta./Cdo.^(1/4) + 0.453*Cdo.^(1/4)); % ugao
plot(ws, P_Wopol1, ws, P_Wopol2, 'linewidth', 2)
legend('(P/W)_{statistika 1}', '(P/W)_{statistika 2}', ...
    '(W/S)_{statistika}', 'poletanje C_{L_{max}} = 1.2', ...
    'poletanje C_{L_{max}} = 1.4', 'sletanje C_{L_{max}} = 1.8', ...
    'penjanje V_y', 'penjanje \theta', 'location', 'southeast')
```



Brzinska karakteristika – 1/8

- Horizontalni let – uravnotežene sile, jednake potrebna i raspoloživa snaga.
- Maksimalna horizontalna brzina V_{\max} se ostvaruje u letu pri maksimalnoj trajnoj snazi:

$$C_D \frac{\rho_H V_{\max}^3}{2} S = n_{\text{mot}} P_{eH} \eta_M \eta_e$$

- $\eta_M = 0.8 \dots 0.9$ za motore sa turbopunjačem, za ostale motore $\eta_M = 1.0$.
- Takođe:

$$n_{\text{mot}} P_{eH} = P_o \cdot A_H, \quad A_H = \frac{\rho}{\rho_o}, \quad \text{bez turbopunjača (1)}$$



Brzinska karakteristika – 2/8

- Deljenjem jednačine ravnoteže sa W_o :

$$V_{\max} = \sqrt[3]{\frac{2(P_o/W_o)A_H\eta_M\eta_e(W_o/S)}{C_D\sigma\rho_o}}$$

- i razdvajanjem na činioce:

$$V_{\max} = \sqrt[3]{\frac{2\eta_e}{\rho C_D}} \cdot \sqrt[3]{\frac{(P_o/W_o)\eta_M A_H(W_o/S)}{\sigma}}$$

gde je $\sigma = \rho/\rho_o$.

- Odavde proizilazi da maksimalna brzina zavisi od letnog parametra U_{let} datog na sledećem slajdu ...



Brzinska karakteristika – 3/8

- Drugi član je:

$$U_{let} = \sqrt[3]{\frac{(P_o/W_o)\eta_M A_H(W_o/S)}{\sigma}}$$

- tako da je

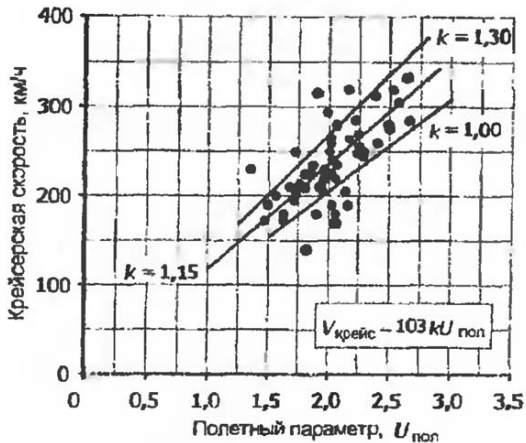
$$V_H = f(U_{let})$$

- Statistička analiza daje za brzinu krstarenja:

$$V_H = 103k_3 U_{let}, \quad k_3 = \begin{cases} 1.00 & \text{Biplani, fiksni trap} \\ 1.15 & \text{Monoplani bez upornica,} \\ & \text{fiksni trap} \\ 1.30 & \text{Monoplani sa} \\ & \text{uvlačivim st. trapom} \end{cases}$$



Brzinska karakteristika – 4/8



Brzinska karakteristika – 5/8

- Iz zadate brzine krstarenja V_H :

$$\frac{P_o}{W_o} \geq \frac{745.7 \cdot \sigma}{0.65 A_H (W_o/S)} \left(\frac{V_H}{103 \cdot k_3} \right)^3$$

- Iz zadate maksimalne brzine V_{\max} :

$$\frac{P_o}{W_o} \geq \frac{745.7 \cdot \sigma}{A_H (W_o/S)} \left(\frac{V_{\max}}{103 \cdot k_3} \right)^3$$



Brzinska karakteristika – 6/8

Primer

Odredi zavisnost P/W od odnosa W/S za letelicu čija je brzina krstarenja $V = 170$ [km/h] na nivou mora, a maksimalna brzina $V_{\max} = 200$ [km/h]. Motor je bez turbopunjača tako da se može smatrati da je $A_H \cong \sigma$.

Rešenje

Za $A_H \cong \sigma = 1$ i $k_3 = 1.0$ jednačine glase:

$$\frac{P}{W} = \frac{745.7}{0.65 \cdot (W/S)} \left(\frac{V_H}{103 \cdot 1.0} \right)^3 = \frac{0.001}{W/S} 170^3 \cong \frac{5158}{W/S}$$



Brzinska karakteristika – 7/8

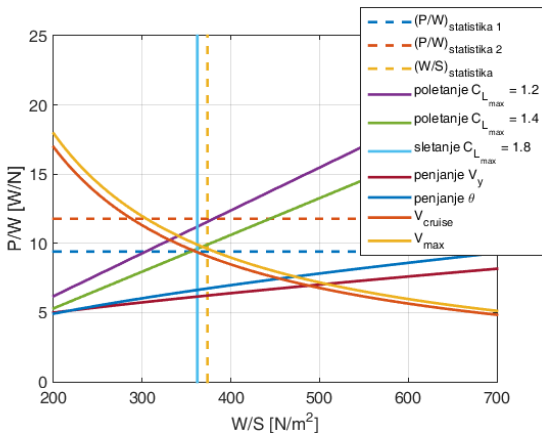
$$\frac{P}{W} = \frac{745.7}{(W/S)} \cdot \left(\frac{V_{\max}}{103 \cdot 1.0} \right)^3 = \frac{6.824 \cdot 10^{-4}}{W/S} 200^3 = \frac{5459}{W/S}$$

Nastavak skripta ...

```
% horizontalni let
Ah = 1; k3 = 1.15; sig = 1;
P_Whor1 = 745.7*sig/0.65/Ah./ws*(V/103/k3)^3;
P_Whor2 = 745.7*sig/Ah./ws*(Vmax/103/k3)^3;
plot(ws, P_Whor1, ws, P_Whor2, 'linewidth', 2)
legend('(P/W)_{statistika 1}', '(P/W)_{statistika 2}', ...
'(W/S)_{statistika}', 'poletanje C_{L_{max}} = 1.2', ...
'poletanje C_{L_{max}} = 1.4', 'sletanje C_{L_{max}} = 1.8', ...
'penjanje V_y', 'penjanje \theta', 'V_{cruise}', 'V_{max}', 'location', 'southeast')
```



Brzinska karakteristika – 8/8



Slika: Dosadašnji grafik mogućih vrednosti P/W i W/S .



Dozvoljene varijacije P/W i $W/S - 1/11$

Dozvoljena oblast promena parametara:

- za P/W i W/S :

$$0.5 \cdot (W/S)_{stat} \leq W/S \leq 1.5(W/S)_{stat}$$

i:

$$0.5 \cdot (P/W)_{stat} \leq P/W \leq 1.5(P/W)_{stat}$$

- Vršiti se izbor konstrukcije krila (sa mehanizacijom ili bez nje).
Orijentacioni podaci za $C_{L_{max}}$ su dati u sledećoj tabeli.



Dozvoljene varijacije P/W i $W/S - 2/11$

Tabela: Otkloni zakrilaca i maksimalni koeficijent uzgona

Vrsta mehanizacije krila	Ugao otklona		$C_{L_{max}}$	
	Poletanje	Sletanje	Poletanje	Sletanje
Bez mehanizacije	–		1.2 ... 1.4	
Prosto zakrilce	20°	60°	1.4 ... 1.6	1.7 ... 2.0
Zakrilce sa procepom	20°	40°	1.5 ... 1.7	1.8 ... 2.2
Zakrilce sa 2 procepa	20°	50°	1.7 ... 1.95	2.3 ... 2.7
Zakrilce Fauler	15°	40°	2.0 ... 2.2	2.5 ... 2.9

Dozvoljene varijacije P/W i W/S – 3/11

- Definiše se aerodinamička sposobnost zakrilaca (prethodna tabela).
- Za svaku varijantu mehanizacije određuje se odgovarajući koeficijent uzgona pri poletanju $C_{L_{\max, Pol}}$ i određuje odgovarajuća zavisnost $P/W - W/S$.
- Za svaku varijantu mehanizacije određuje se maksimalni koeficijent uzgona pri sletanju $C_{L_{\max, Slet}}$ i odgovarajuća zavisnost $P/W - W/S$.
- Za svaku varijantu mehanizacije u skladu sa propisima za brzinu i gradijent penjanja određuje se zavisnost $P/W - W/S$.

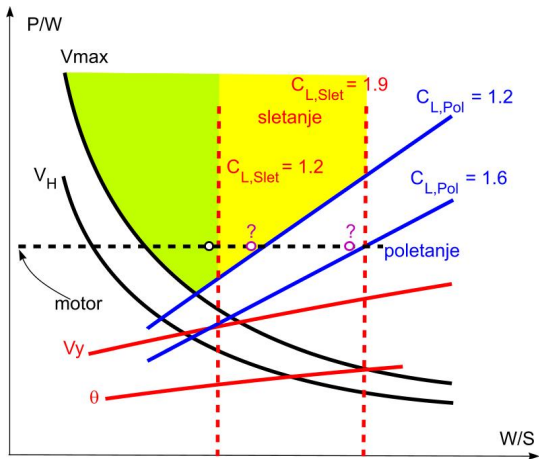


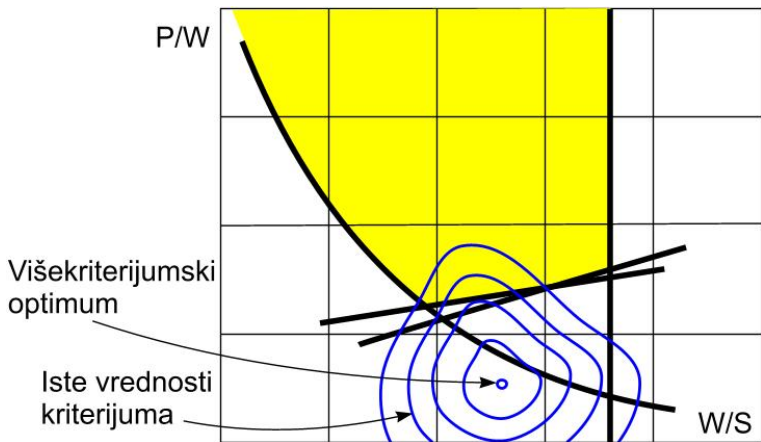
Dozvoljene varijacije P/W i W/S – 4/11

- Odredjuje se zavisnost $P/W - W/S$ prema zadatoj brzini krstarenja i maksimalnoj brzini letelice.
- Sve dobijene zavisnosti P/W u funkciji W/S se unose dijagramski kako bi se odredila zona prihvatljivih odnosa P/W i W/S .
- Sledeći slajd principijelno prikazuje dijagram zavisnosti P/W i W/S .
- Zbog moguće naknadne promene težine letelice ili zbog varijacija usled primene tačnijih proračuna birati $P/W - W/S$ uredjeni par **u oblasti** dozvoljenih parametara!



Dozvoljene varijacije P/W i W/S – 5/11



Dozvoljene varijacije P/W i W/S – 6/11

Dozvoljene varijacije P/W i W/S – 7/11

- Pri kasnijim modifikacijama letelice lakše je uzeti jači motor nego modifikovati celo krilo.
- Prevelika površina krlila nepotrebno smanjuje ekonomičnost letelice.
- Osnovni parametar koji se uz P/W i W/S u ovoj fazi određuje je doprinos mehanizacije krila maksimalnom koeficijentu uzgona.
- Uvek treba procenjivati dobiti komplikovane mehanizacije u odnosu na prostu i pouzdanu izvedbu letelice!



Dozvoljene varijacije P/W i W/S – 8/11

- Kako nam je za našu letelicu definisana maksimalna masa moraćemo pregledati raspoložive motore i izračunati za svaki P/W i ucrtati linije na prethodni dijagram.
- Naš projektantski zadatak se svodi na određivanje optimalnog W/S !
- Karakteristike najčešće korišćenih motora su date na sledećem slajdu!
- Imajte na umu da je:

$$1 \text{ [hp]} = 745.701 \text{ [W]} \quad \text{i} \quad 1 \text{ [lb]} = 4.448222 \text{ [N]}$$

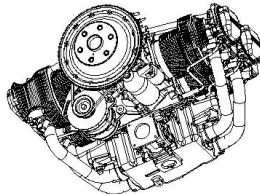
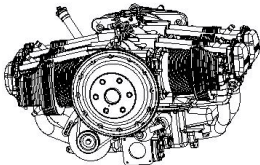
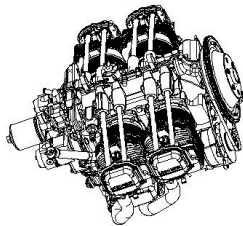
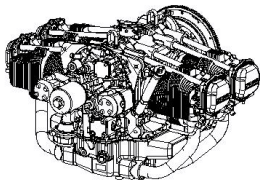


Dozvoljene varijacije P/W i W/S – 9/11

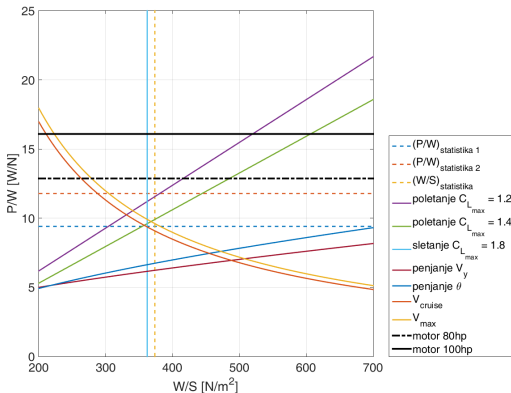
Model	bhp	RPM	Weight	lb/hp
VW (Great Plains conversion)				
1600cc	57	3600	160	2.81
2180cc	76	3600	168	2.21
Lycoming				
O-235 C	115	2800	215	1.87
O-320	160	2700	255	1.59
O-360	180	2700	270	1.50
O-540-E	260	2700	368	1.42
IO-360	200	2700	293	1.47
Continental				
C-75	75	2275	168	2.24
O-200-A	100	2750	220	2.20
O-300	145	2700	268	1.85
IO-360	195	2600	327	1.68
TSIO-550-E	350	2700	433	1.24
Franklin				
4A-235-B31	125	2800	206	1.65
6A-350-C1R	220	2800	297	1.35
Rotax				
Rotax 377	35	6500	61	1.74
Rotax 582	63	6500	63	1.00
Rotax 914 F	100	5500	141	1.41
Jabiru				
Jabiru 2200A	80	3300	132	1.65
Jabiru 3300A	120	3300	178	1.48
Jabiru 600A	180	2700	231	1.28
Other				
Hirth 3203	65	6300	73	1.12
HKS 700E	56	5800	121	2.16
			av.	1.68



Dozvoljene varijacije P/W i W/S – 10/11



Dozvoljene varijacije P/W i W/S – 11/11



Slika: Grafik mogućih vrednosti P/W i W/S sa ograničenjem motora.

